



PERÚ

Ministerio
de la Producción



IMARPE
INSTITUTO DEL MAR DEL PERÚ

BOLETÍN SEMANAL OCEANOGRÁFICO Y BIOLÓGICO-PESQUERO

Año 10, N° 35

Semana 35: 25 - 31 de agosto de 2025

RESUMEN

- La anomalía promedio de la temperatura superficial del mar (TSM), con respecto a la semana anterior, descendió 0,1 °C en la región Niño 3.4 (-0,45 °C) y 0,55 °C en la Región Niño 1+2 (-0,33 °C), de acuerdo al producto OSTIA.
- Las aguas con TSM < 20 °C continuaron ampliando su cobertura desde la costa norte hacia el noroeste, sobrepasando los 90°W. Frente a Punta Falsa, la TSM disminuyó en hasta 1,5 °C, debido a que las aguas oceánicas de 20 °C continuaron replegándose hacia el oeste, favoreciendo al predominio de condiciones neutras en gran parte de la costa peruana. Estas condiciones fueron favorecidas por la permanencia de vientos fuertes a muy fuertes entre Máncora y Atico.
- De acuerdo al modelo MERCATOR, las ASS continuaron replegándose hacia el oeste, generando una amplia zona de mezcla con las ACF, las cuales han venido incrementando su cobertura. En la costa sur, destaca una lengua de baja salinidad.
- La información *in situ*, a nivel superficial indicó el predominio de condiciones neutras a frías con anomalías de hasta -1 °C, entre Punta Chao y Huacho, así como la presencia de Aguas Subtropicales Superficiales (ASS) con TSM entre 17 y 19 °C entre las 20-100 mn. En la columna de agua, desde Paita a Huacho y a 48 mn de Callao, predominaron condiciones entre neutras y frías de hasta -1 °C. Sólo en Chimbote y Huarmey se detectó un núcleo positivo de + 2 °C a 50 m por fuera de las 40 mn. El acercamiento de las ASS fue más evidente entre Chimbote y Callao, por fuera de las 20 mn y sobre los 50 m, mientras que, hacia el norte, el afloramiento de las aguas costeras frías (ACF) fue más intenso, generando una amplia zona de mezcla con las ASS.

PRONÓSTICO

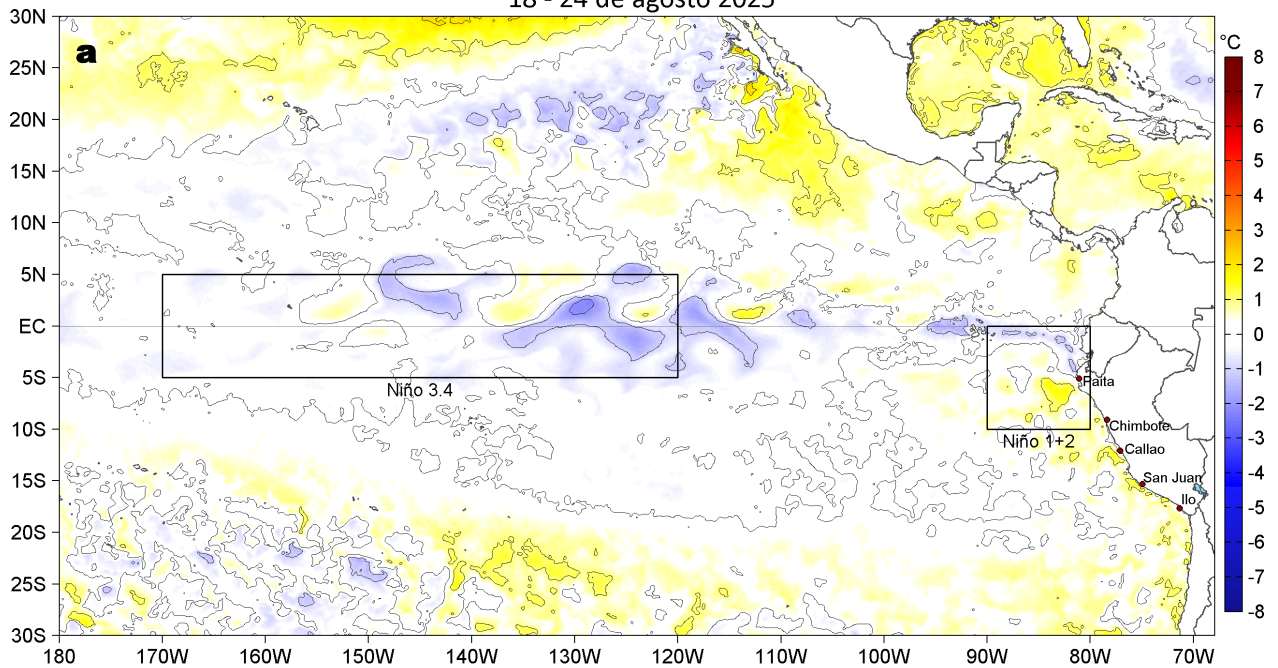
- Hasta el 07 de setiembre, entre Máncora y Atico, la velocidad del viento (VV) variaría principalmente en el rango moderado a fuerte en el sector oceánico y la costa central. Asimismo, se espera el desarrollo de anomalías positivas (> +1,0 m/s) de VV entre el 02 y 04 de setiembre, para luego debilitarse y predominar anomalías negativas (< -1,0 m/s) frente a la costa centro-sur y en el sector oceánico.
- De acuerdo con el modelo MERCATOR, hasta el 10 de setiembre en la región Niño 1+2, se espera la intensificación de las anomalías negativas de TSM, con un valor de hasta -0,9 °C.

Callao, lunes 01 de setiembre del 2025

Servicio de Información Oceanográfica del Fenómeno El Niño (SIOFEN)
Dirección General de Investigaciones en Oceanografía y Cambio Climático (DGIACC) y
Dirección General de Investigaciones de Recursos Pelágicos (DGIRP)
Instituto del Mar del Perú (IMARPE)

I. CONDICIONES DE MACROESCALA

Anomalías de la Temperatura Superficial del Mar (°C)
18 - 24 de agosto 2025



Anomalías de la Temperatura Superficial del Mar (°C)
25 - 31 de agosto 2025

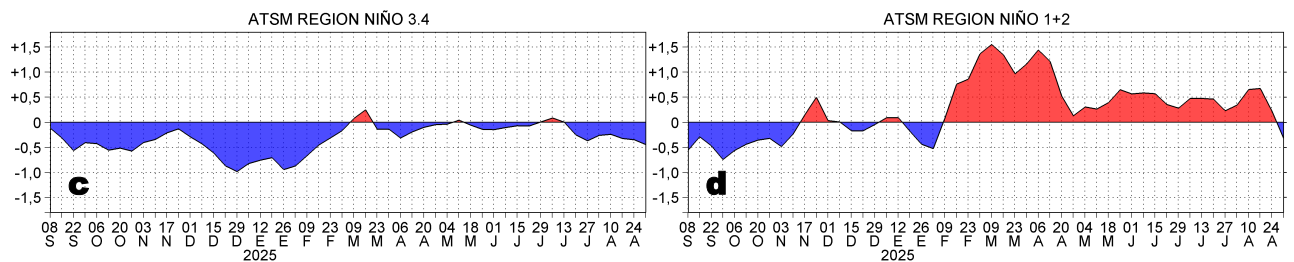
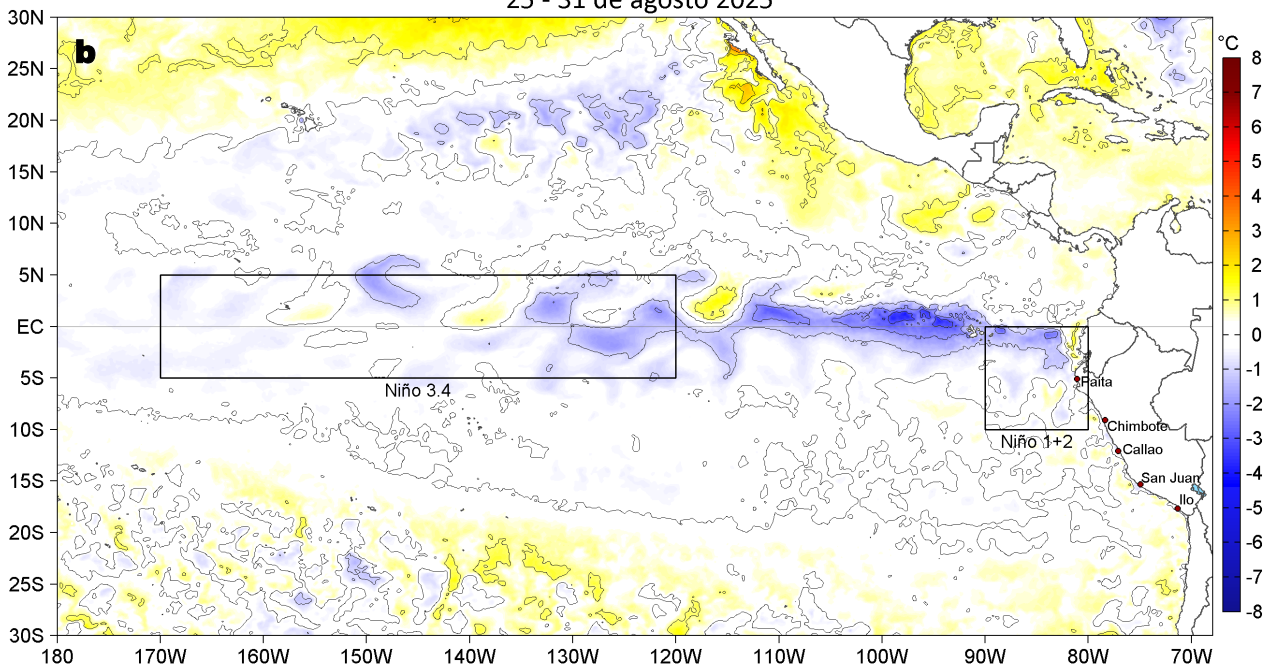


Figura 1. Anomalías promedio de la temperatura superficial del mar (TSM, °C) en el océano Pacífico tropical del 18 al 24 de agosto (a) y del 25 al 31 de agosto (b) del 2025, así como la variación del promedio semanal durante el último año para la región Niño 3.4 (c) y la región Niño 1+2 (d). Las regiones Niño 3.4 y Niño 1+2 en los sectores central y oriental del océano, respectivamente, están delimitadas con una línea de color gris. Datos: OSTIA-UKMO-L4-GLOB-v2.0 (UK Met Office, 2012; Donlon et al, 2012). Climatología: 1991-2020.

II. CONDICIONES DE MESOESCALA

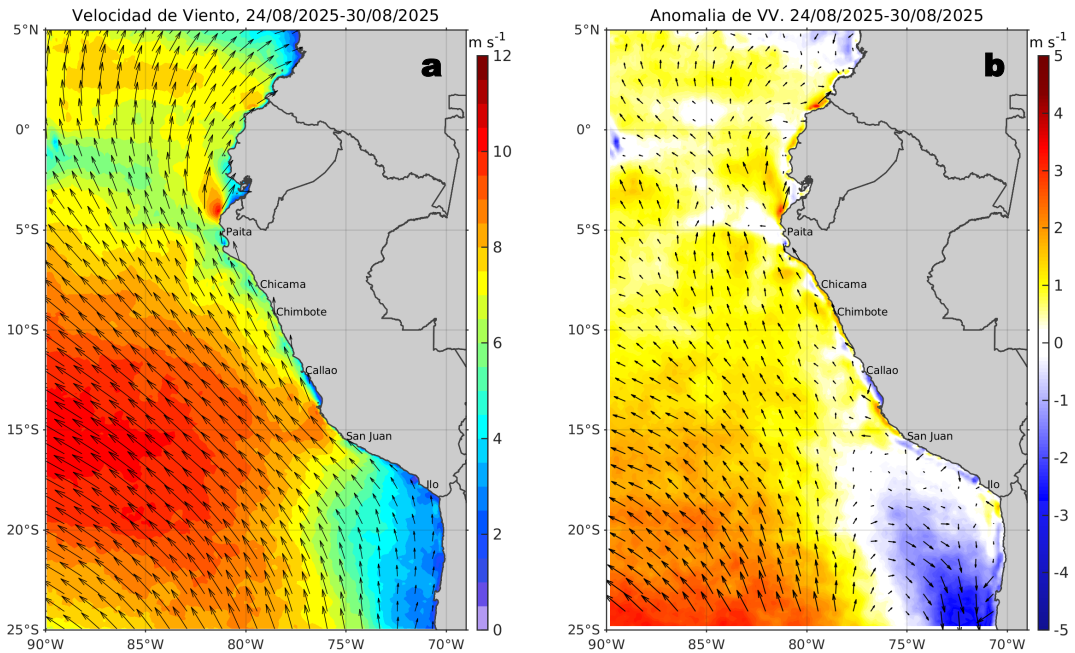


Figura 2. Distribución espacial promedio de: a) la velocidad (m/s) y dirección del viento (°) y b) anomalías de la velocidad (m/s) y dirección del viento (°) frente a la costa peruana del 24 al 30 de agosto del 2025. La velocidad del viento y su anomalía se presentan en matices de colores a la derecha. La dirección del viento y su anomalía se presentan con flechas. Fuente de los datos: CMEMS. Climatología: 2000-2020.

Entre Máncora y Atico, la velocidad del viento (VV) se mantuvo principalmente en el rango fuerte (6,8 a 10,4 m/s) a muy fuerte (> 10,4 m/s) en el sector oceánico y frente a la costa central; al norte de Máncora, al sur de Atico y en la franja bien costera se mantuvo en el rango débil (0,7 a 4,1 m/s) a moderado (4,1 a 6,8 m/s). Asimismo, al norte de San Juan de Marcona, predominaron anomalías positivas de la VV, con anomalías intensas en el sector oceánico.

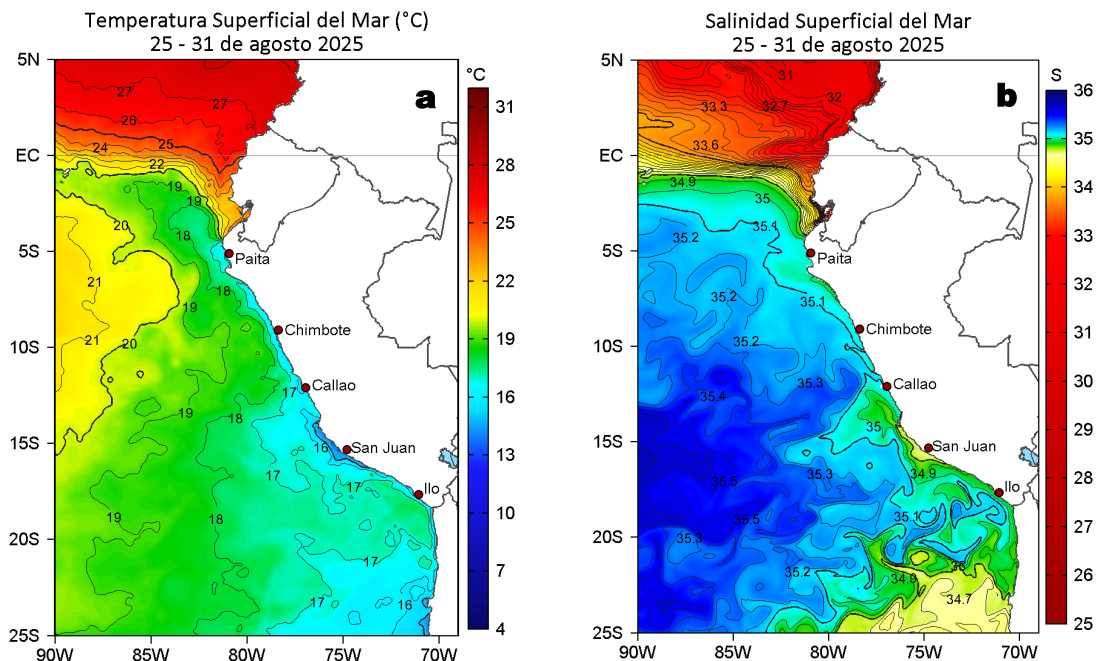


Figura 3. Distribución espacial promedio de la: a) Temperatura superficial del Mar (TSM, °C) y b) Salinidad superficial del mar (SSM) del 25 al 31 de agosto del 2025. Datos: OSTIA-UKMO-L4-GLOB-v2.0 (UK Met Office, 2012; Donlon et al, 2012) para (a) y del GLOBAL_ANALYSISFORECAST_PHY_001_024 (Lellouche, J. M. et al, 2013) para (b).

La TSM en la franja adyacente al litoral peruano varió entre 24,1 °C (Tumbes) y 13,9 °C (Chala). Las aguas con TSM menor a 20 °C continuaron proyectándose desde la costa norte hacia el noroeste, sobrepasando los 90°W. Frente a Punta Falsa, las aguas de 20 °C continuaron replegándose hacia el oeste, favoreciendo a la normalización de la TSM frente a la costa (Figura 3a y 1). De acuerdo al modelo Mercator (Figura 3b), las Aguas Subtropicales Superficiales (ASS; $SSM > 35,1$) continuaron replegándose al oeste, generando el incremento de la zona de mezcla con las aguas costeras frías (ACF; $34,8 < SSM < 35,1$) afloradas con mayor cobertura. En el sector sur, destacaron aguas de baja salinidad por la posible contribución de las Aguas Intermedias del Pacífico Sudeste (AIPSE).

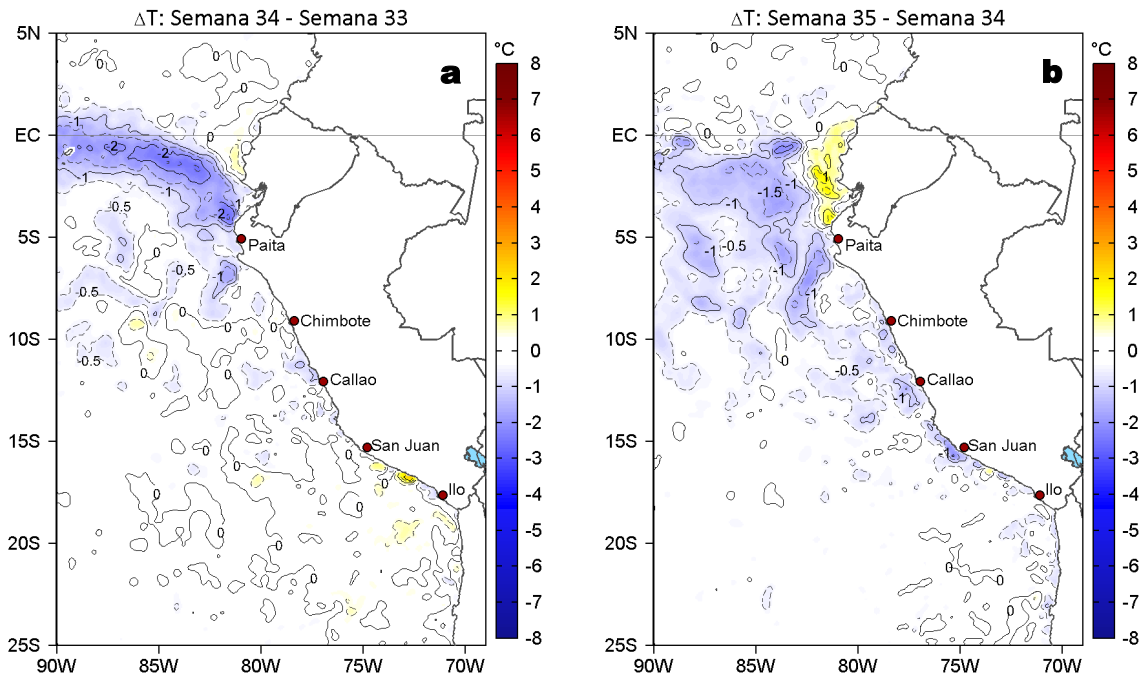


Figura 4. Variación semanal de la TSM ($^{\circ}\text{C}$) en el océano Pacífico tropical oriental entre: a) trigésima cuarta (18 - 24 de agosto) y trigésima tercera (11 - 17 de agosto) semana del 2025 y b) trigésima quinta (25 - 31 de agosto) y trigésima cuarta (18 - 24 de agosto). Los mapas, que indican el grado de calentamiento o enfriamiento de una semana a otra, provienen de OSTIA-UKMO-L4-GLOB-v2.0 (UK Met Office, 2012; Donlon et al, 2012).

Con respecto a la semana anterior (Figura 4b), la TSM al sur de Talara presentó un descenso predominante con valores de hasta $1,5^{\circ}\text{C}$, extendiéndose hasta el sector ecuatorial en dirección noroeste. Al norte de Talara, la TSM en el sector costero se incrementó en hasta $1,5^{\circ}\text{C}$.

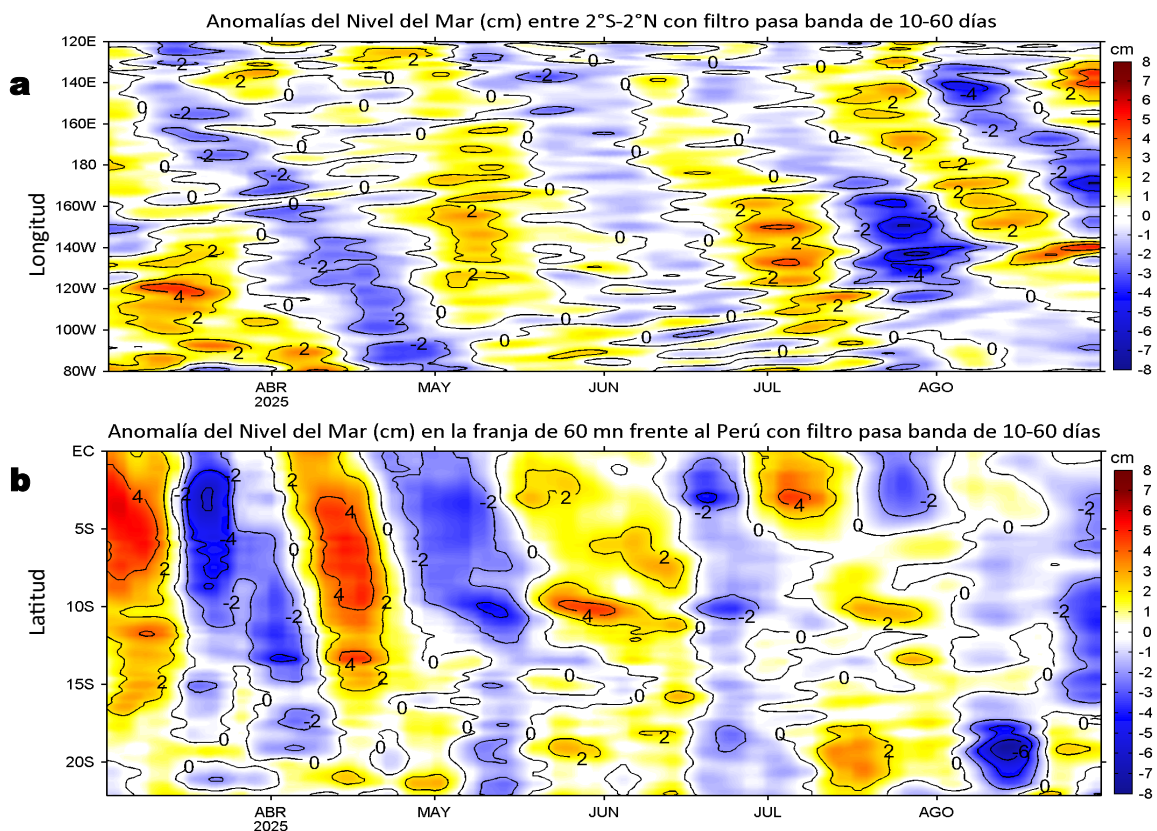


Figura 5. Anomalías diarias del nivel del mar (cm) con filtro pasa banda de 10-60 días para: a) la franja de $2^{\circ}\text{S}-2^{\circ}\text{N}$ en el Pacífico ecuatorial y b) la franja de 60 mn adyacente a la costa entre el ecuador geográfico y 22°S , actualizado al 31 de agosto del 2025. Datos: CMEMS-DUACS. Climatología: 1993-2020.

Las anomalías de nivel del mar (ANM) filtradas negativas extendieron su cobertura en gran parte de la franja costera, intensificándose principalmente entre Chimbote y Callao. En el Pacífico ecuatorial, las ANM filtradas positivas asociadas a la propagación de una OK cálida, mantuvieron su desplazamiento hacia el este, aunque con una intensidad debilitada, hasta los 110°W .

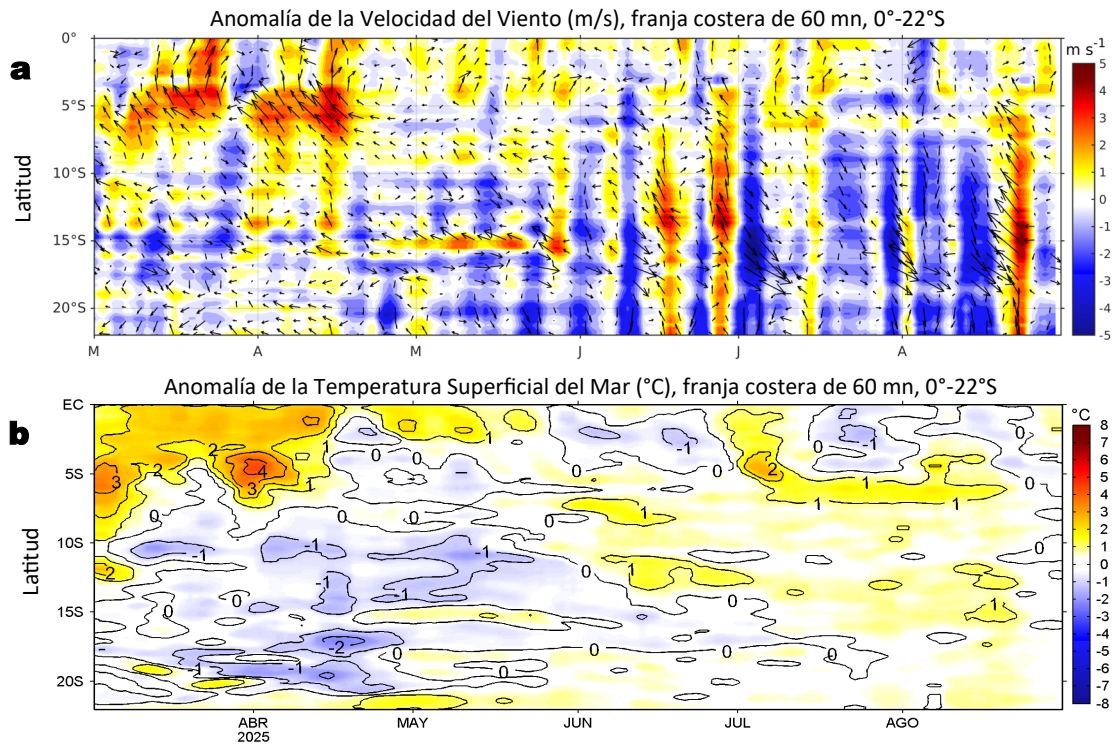


Figura 6. Evolución de las anomalías diarias de: a) Velocidad del viento (m/s) y b) TSM (°C) de febrero al 31 de agosto del 2025. Datos: CMEMS para (a) y OSTIA-UKMO-L4-GLOB-v2.0 para (b). Las anomalías fueron calculadas para una franja de 60 mn adyacente a la costa entre el ecuador geográfico y 20°S para (a) y 22°S para (b), según los promedios diarios de 2000-2020 para (a) y de 1991-2020 para (b). La barra de colores a la derecha muestra la escala de las anomalías en cada caso.

En la franja costera, al norte de Máncora se registraron anomalías positivas de la velocidad del viento (VV), mientras que al sur de Máncora se registraron anomalías en el rango neutro o negativas de la VV, especialmente frente a San Juan de Marcona (Figura 6a). En cuanto a la TSM, predominaron condiciones neutras en toda la franja (Figura 6b).

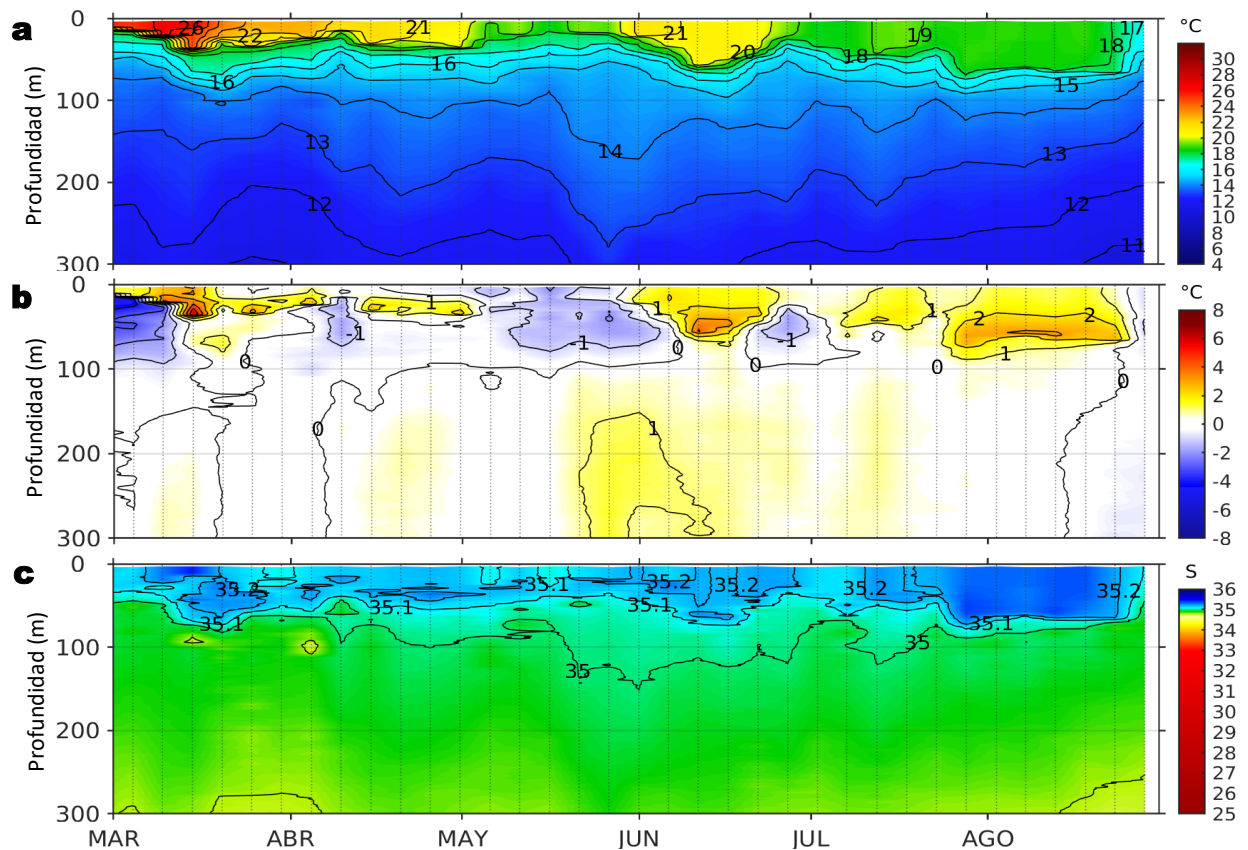


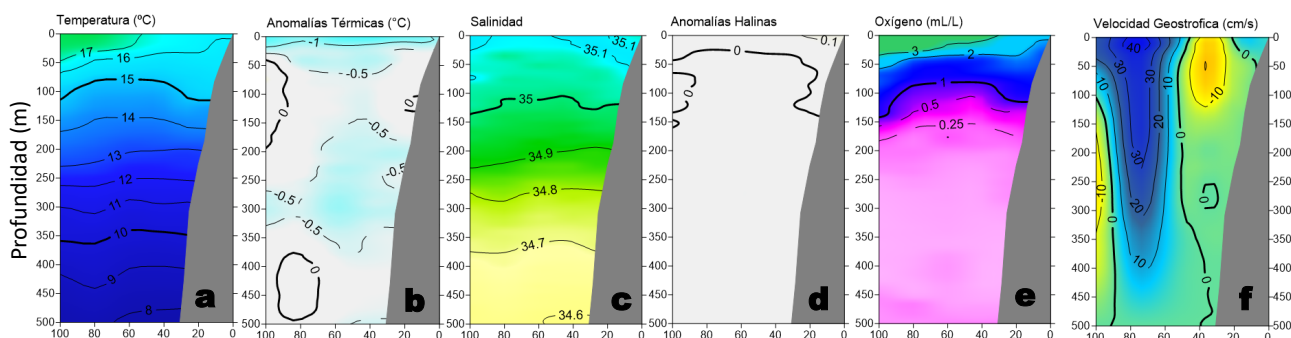
Figura 7. Diagrama Hovmöller de: a) Temperatura del mar (°C), b) Anomalías térmicas (°C) y c) Salinidad del mar registrados por el perfilador ARGO No. 3903004, a 48 mn (11,88°S y 78,02°W) frente a Callao el día 28 de agosto 2025. Las anomalías térmicas se calcularon de acuerdo a Domínguez et al (2023). Los puntos en la columna de agua indican los días en que el perfilador registró información. Datos: ARGO.

A 48 mn frente a Callao, el 28 de agosto se registró una TSM de 16,4 °C con anomalía de -0,8 °C y una SSM de 35,09. En la columna de agua predominaron anomalías negativas dentro del rango neutro, con un núcleo puntual de -1 °C a 46 m.

IIA. CONDICIONES REGISTRADAS EN MONITOREO BIO-OCEANOGRÁFICO

Sección: Paita (25 y 26 agosto, 2025)

Embarcación: IMARPE V



Sección: Chicama (23 de agosto, 2025)

Embarcación: IMARPE V

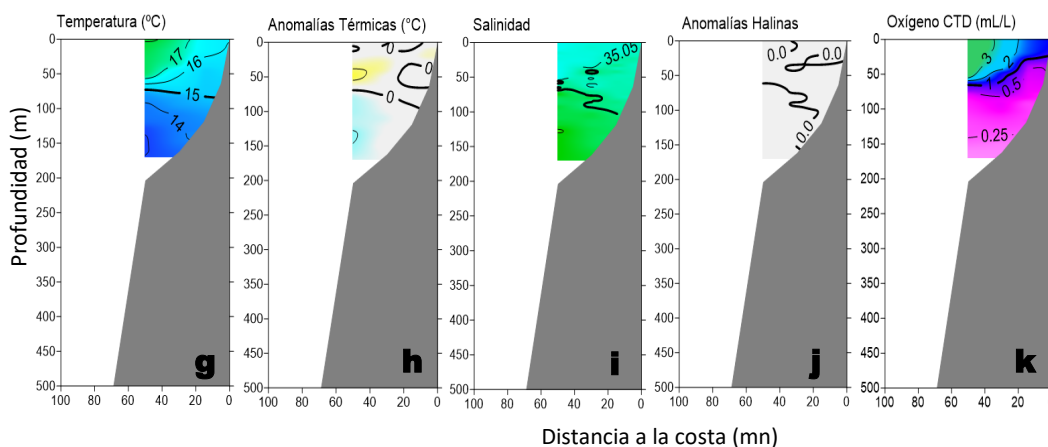


Figura 8. Estructura vertical de la a, g) temperatura (°C), b, h) anomalías térmicas (°C), c, i) salinidad, d, j) anomalías halinas, e, k) oxígeno (mL/L) y f) velocidad geostrofica (cm/s), registradas dentro de las 100 mn costeras durante el “Monitoreo Bio-Oceanográfico frente a Paita y Chicama 2508”. Las anomalías se calcularon de acuerdo a Domínguez et al (2023).

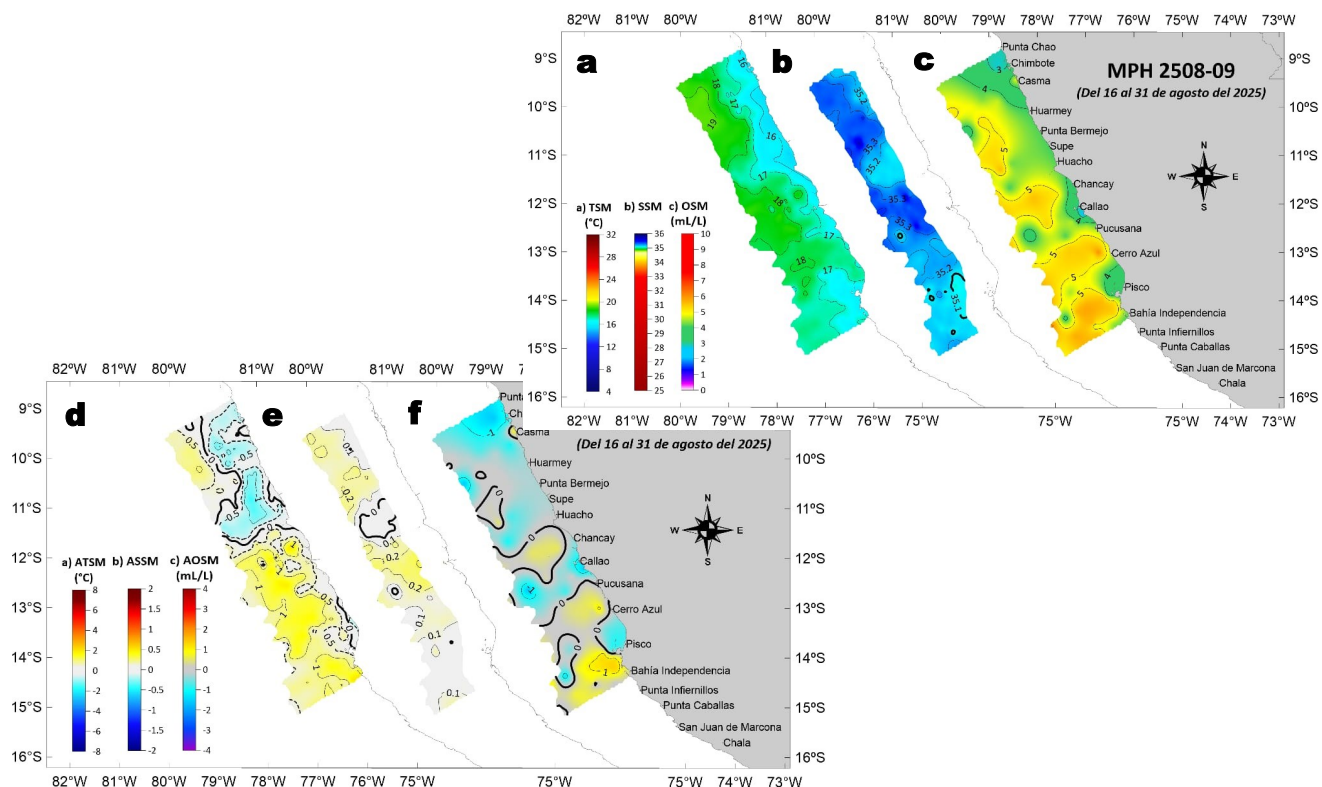
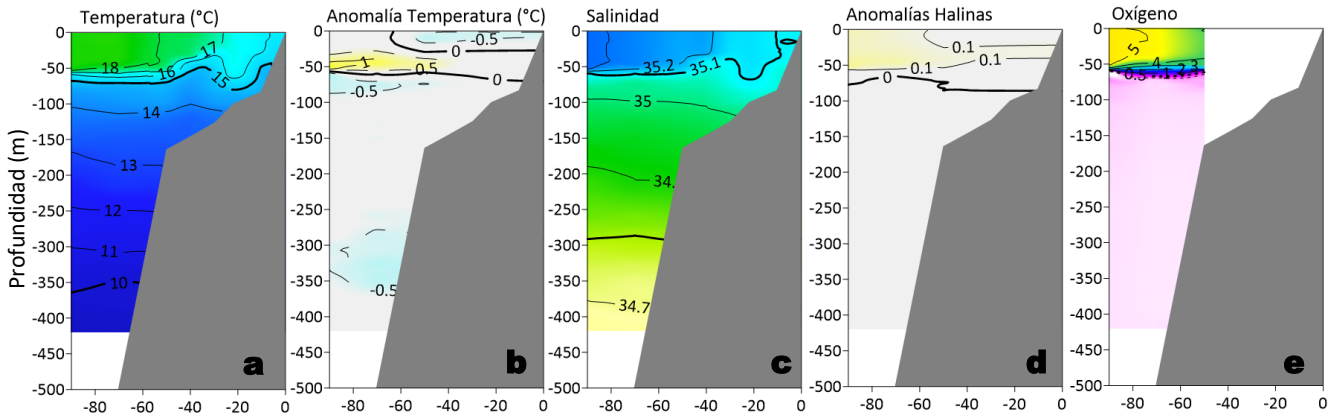
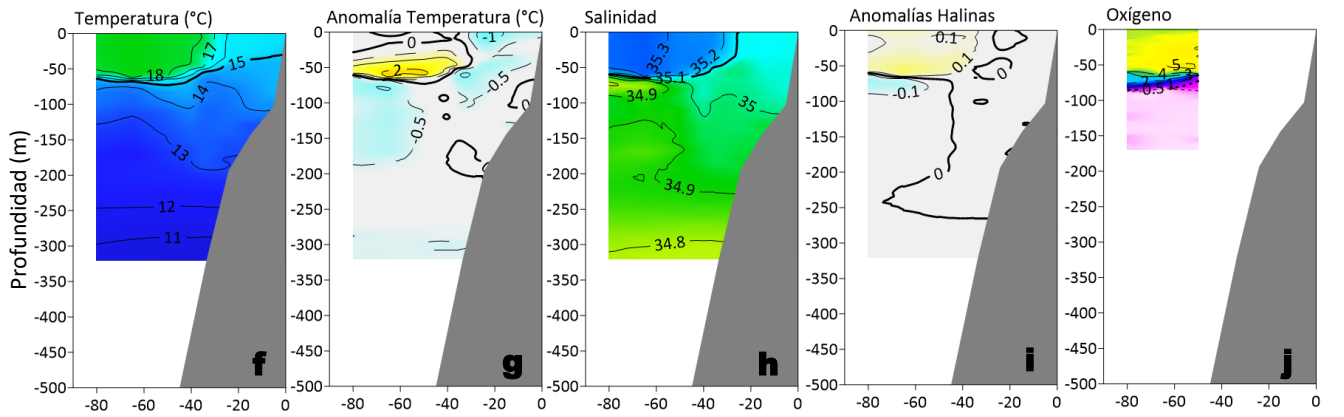


Figura 9. Distribución a nivel superficial de la a) temperatura (°C), b) salinidad, c) oxígeno disuelto (mL/L), d) anomalías térmicas (°C), e) anomalías halinas y f) anomalías del oxígeno disuelto (mL/L), registradas durante el “Crucero de Método de Producción de Huevos MPH 2508-09”, entre el 16 y 31 de agosto de 2025. Las anomalías se calcularon de acuerdo a Domínguez et al (2023).

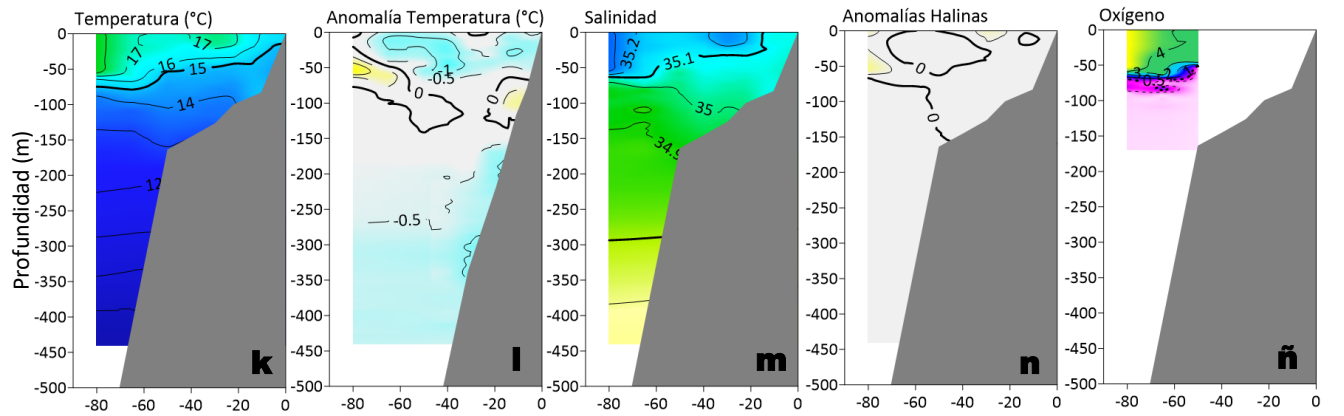
Sección: Chimbote (31 de agosto, 2025)
Embarcación: BIC Humboldt



Sección: Huarmey (28-29 de agosto, 2025)
Embarcación: BIC Humboldt



Sección: Huacho (27 de agosto, 2025)
Embarcación: BIC Humboldt



Distancia a la costa (mn)

Figura 10. Estructura vertical de la: a, f, k) temperatura (°C), b, g, l) anomalías térmicas (°C), c, h, m) salinidad, d, i, n) anomalías halinas, y e, j, ñ) oxígeno disuelto (mL/L); registradas durante el “Crucero de Método de Producción de Huevos MPH 2508-09”, entre el 16 y 31 de agosto de 2025. Las anomalías se calcularon de acuerdo a Domínguez et al (2023).

La información *in situ* registrada por el IMARPE de Bahía Independencia a Punta Chao (Figura 9), en superficie indicó un ligero calentamiento al sur de Punta Bermejo con anomalías entre +1 °C y +1,5 °C, mientras que, entre Huarmey y Punta Bermejo se observó un ligero enfriamiento con anomalías de -1 °C. La isoterma de 15 °C que tiende a ascender al sur de Chimbote indicó flujos al norte (Figura 10 a, f, k). Las secciones verticales (Figuras 8 y 10) indicaron el predominio de anomalías negativas (-1 °C), aunque en Chimbote y Huarmey se detectaron anomalías de +2 °C por debajo de los 30 m y por fuera de las 40 mn. Predominaron las ASS en todos perfiles, sin embargo, procesos de mezcla de las ASS con ACF se registraron de Chimbote a Huarmey (Figura 10 c, h, m). Por su parte, procesos de afloramiento costero fueron intensos en Chicama y Paita (Figura 8 c, i).

III. ÍNDICES CLIMÁTICOS Y BIOLÓGICO-PESQUERO

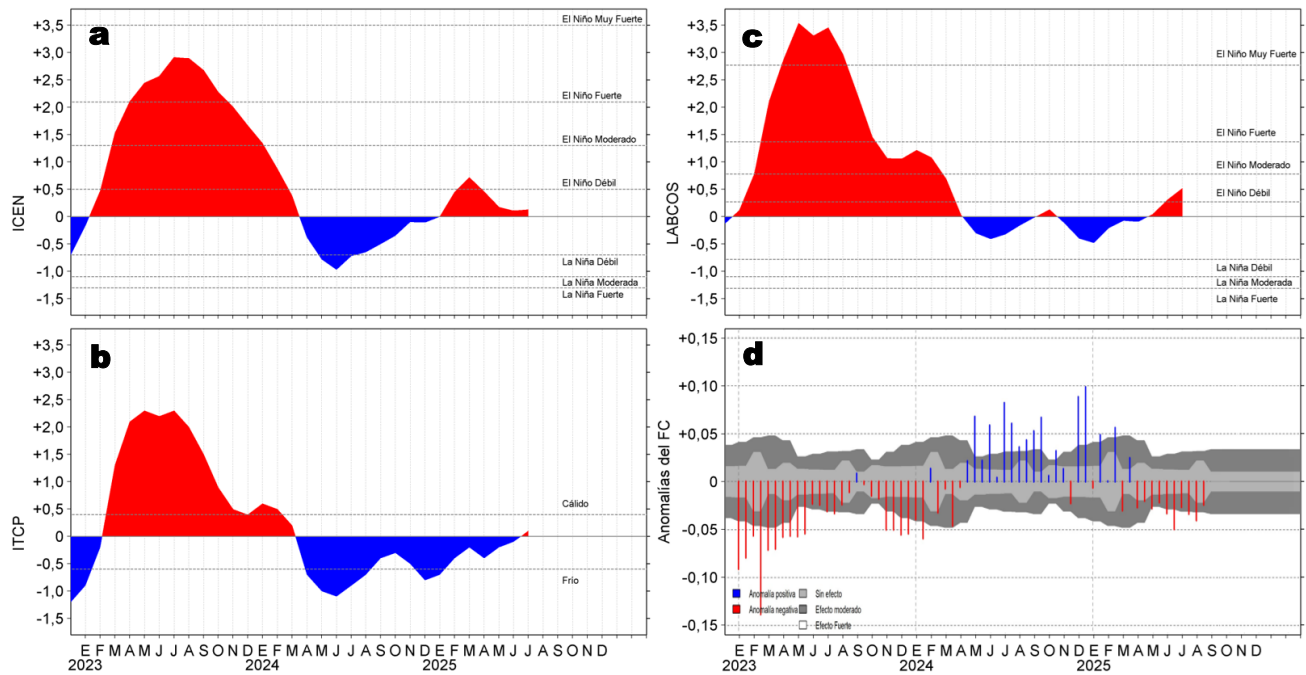


Figura 11. Series de tiempo de: a) Índice Costero El Niño (ICEN; ENFEN, 2024), b) Índice Térmico Costero Peruano (ITCP; Quispe et al., 2016), c) Índice de Laboratorios Costeros (LABCOS; Quispe y Vásquez, 2015) y d) Anomalías del índice del factor de condición (AFC) de la anchoveta peruana *Engraulis ringens* (Cuba et al., 2019) desde diciembre 2022 hasta agosto del 2025.

Con respecto a la condición somática de la anchoveta *Engraulis ringens*, en la segunda quincena de agosto, la anomalía del factor de condición presentó valores negativos de efecto moderado, indicando una disminución con respecto a la primera quincena (Figura 11d).

IV. ASPECTOS BIOLÓGICO-PESQUEROS

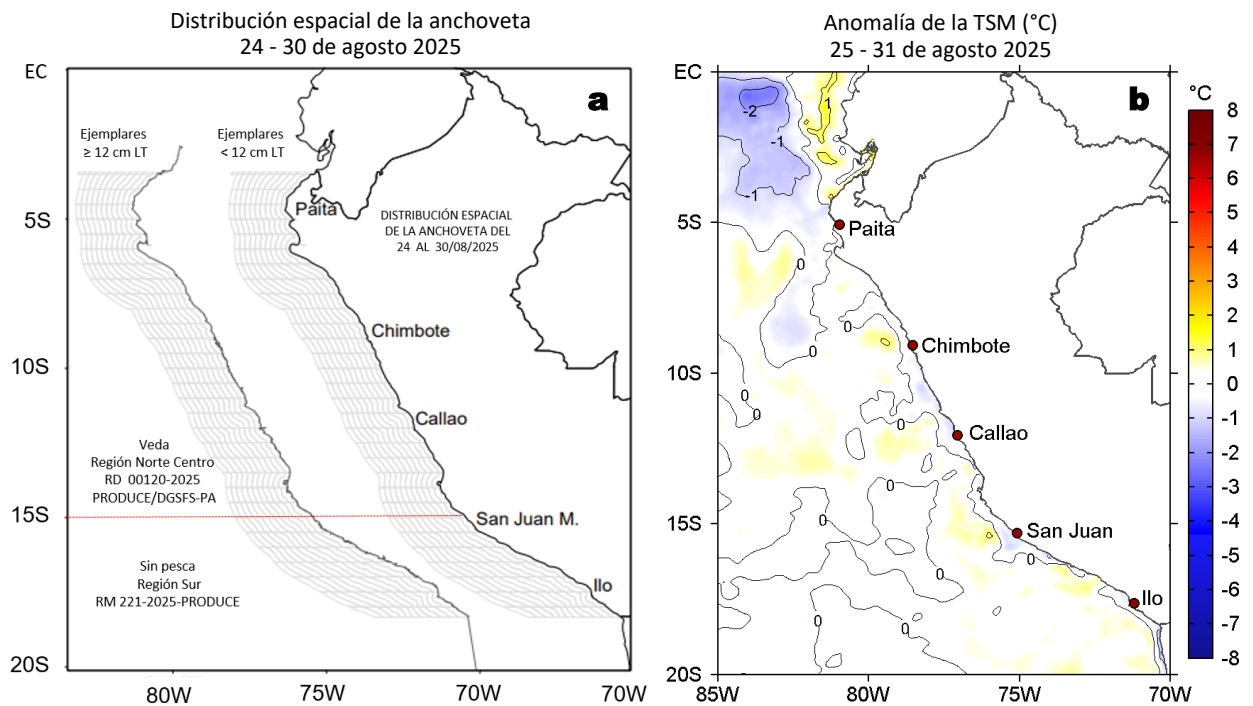


Figura 12. a) Distribución de la anchoveta según porcentaje de juveniles por región y su relación con b) las anomalías térmicas (°C) para la semana del 25 al 31 de agosto de 2025. Datos: OSTIA-UKMO-L4-GLOB-v2.0 (UK Met Office, 2012; Donlon et al, 2012). Las anomalías térmicas se calcularon con respecto de la climatología para el período 1991-2020.

Durante la presente semana, la región Norte-Centro no registró actividad pesquera debido al cierre de la primera temporada. La región Sur continúa sin registrar actividad pesquera (Figura 12a).

V. PRONÓSTICO

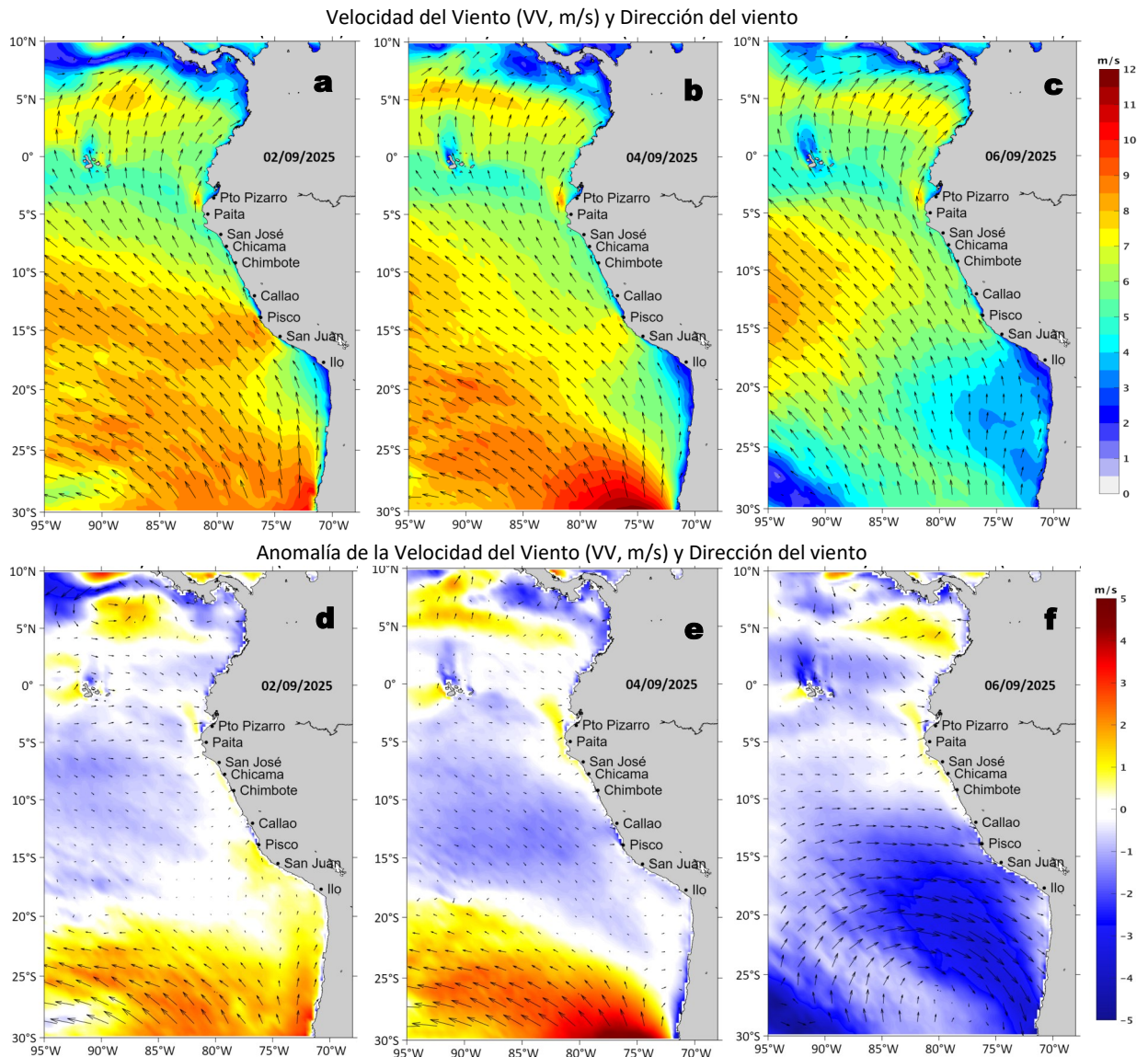


Figura 13. Distribución espacial del pronóstico de la velocidad del viento (VV, m/s) y dirección del viento ($^{\circ}$), así como para sus anomalías para los días a) 02, b) 04 y c) 06 de setiembre de 2025, frente a la costa sudamericana entre Centroamérica y la costa norte de Chile. Fuente: Modelo Climate Forecast System (GFS) de la NOAA. Climatología: 2000-2020.

Hasta el 07 de setiembre, entre Máncora y Atico, la VV cambiaría del rango moderado a fuerte al rango moderado en el sector oceánico y la costa central. Al norte de Máncora, al sur de Atico y en la franja muy costera continuarían VV moderadas a débiles. Asimismo, entre el día 02 y el 04, se prevé el predominio de anomalías de la VV en el rango neutro o frente a la costa, mientras que durante los días 05 y 06 se esperan anomalías negativas ($< -1,0$ m/s) frente a la costa centro-sur y en el sector oceánico. El día 07 se prevén anomalías positivas frente a la costa centro-norte.

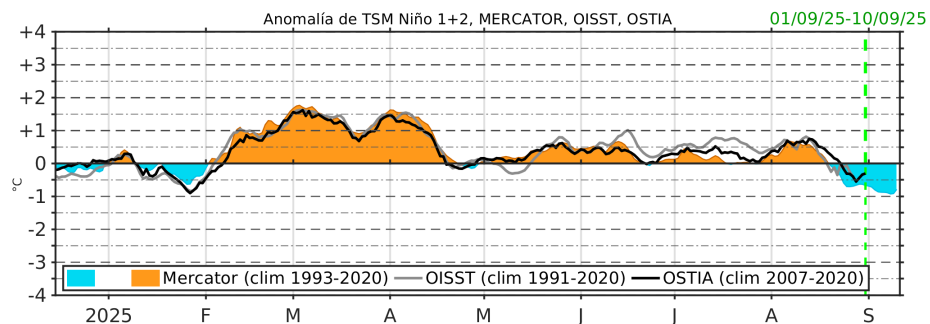


Figura 14. Series de tiempo de la anomalía de TSM diaria en la región Niño 1+2, obtenidas a partir del modelo MERCATOR a escala diaria (sombreado celeste y naranja), el producto OISST (línea gris) y el producto OSTIA (línea negra), a partir del promedio climatológico de 1993-2020, 1991-2020 y 2007-2020, respectivamente. La línea discontinua vertical de color verde indica la fecha de inicio del pronóstico de las anomalías de TSM según MERCATOR.

De acuerdo con el modelo MERCATOR, en la región Niño 1+2, hasta el 10 de setiembre continuarían registrándose anomalías negativas de TSM, con un valor de hasta $-0,9$ $^{\circ}$ C.

Condiciones iniciales: 21-28 de agosto, 2025

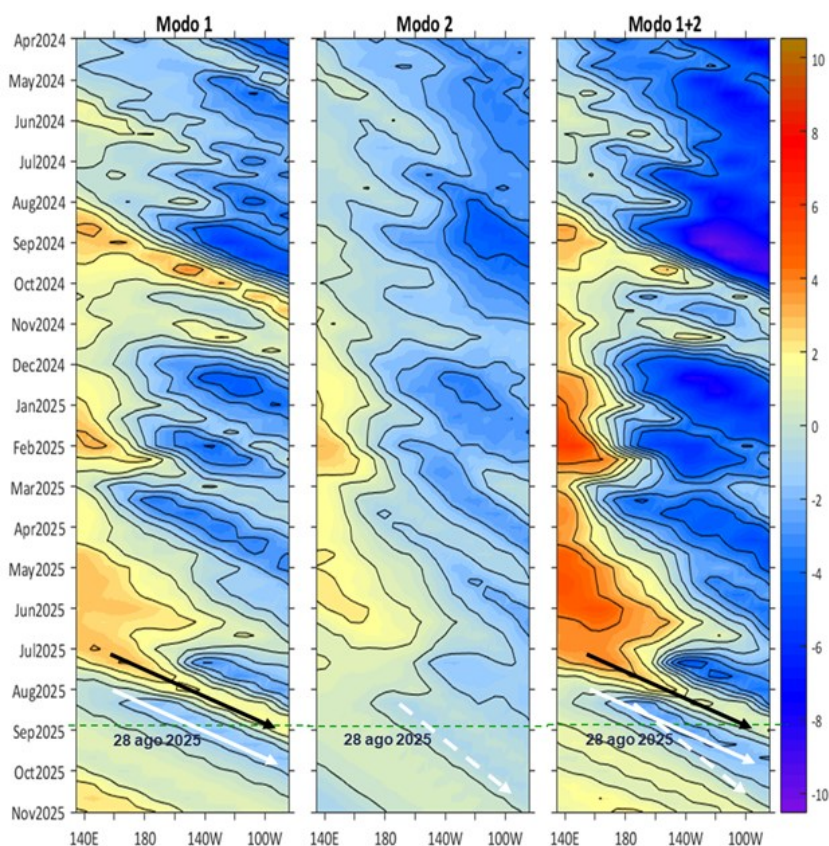


Figura 15. Diagramas Hovmöller longitud-tiempo de las ondas Kelvin ecuatoriales (OKE) en el océano Pacífico ecuatorial entre 130°E y 95°W y en la banda entre 1°N-1°S, forzado con anomalías del esfuerzo del viento (N/m^2) del NCEP (Kalnay et al., 1996) de acuerdo con la metodología de Illig et al. (2004) y Dewitte et al. (2002): a) Modo 1, b) Modo 2 y c) Modos 1+2. La línea discontinua horizontal de color verde indica la fecha del inicio del pronóstico con anomalías del esfuerzo del viento igual a cero. Los valores negativos corresponden a ondas Kelvin de afloramiento (frías) y están representadas por flechas discontinuas de color blanco. Los valores positivos corresponden a ondas Kelvin de hundimiento (cálidas) cuya propagación está representada por flechas de color negro sólido (modo 1) y discontinuo (modo 2). Datos del modelo: LMOECC/AFIOF/DGIOCC/IMARPE.

La última simulación del modelo de ondas Kelvin ecuatoriales (OKE) implementado en el IMARPE, forzada con anomalías del esfuerzo del viento ecuatorial superficial obtenidas del NCEP al 28.08.2025, indica que la OKE cálida (modo 1), mencionada en el BS OBP N°29-2025, alcanzaría el extremo oriental del Pacífico ecuatorial en setiembre. La OKE fría (modo 1), mencionada en el BS OBP N°32-2025, también mantiene su propagación hacia el este y podría llegar al extremo oriental del Pacífico ecuatorial entre setiembre y octubre. La persistencia de las anomalías del vientos del este en el Pacífico ecuatorial central en agosto, podría haber generado otra OKE fría (modo 2), y podría llegar al extremo oriental del Pacífico ecuatorial entre octubre y noviembre.

RECONOCIMIENTOS

The Group for High Resolution Sea Surface Temperature (GHRSSST) Multi-scale Ultra-high Resolution (MUR) Level 4 OSTIA Global Foundation Sea Surface Temperature Analysis (GDS version 2). Ver. 2.0 data were obtained from the NASA EOSDIS Physical Oceanography Distributed Active Archive Center (PO.DAAC) at the Jet Propulsion Laboratory, Pasadena, CA (<http://dx.doi.org/10.5067/GHGMR-4FJ01>).

IFREMER/CERSAT. 2005. ERS-1 Level 3 Gridded Mean Wind Fields (IFREMER). Ver.1.PO.DAAC, CA, USA (<ftp://anonymous@ftp.ifremer.fr/ifremer/cersat/products/gridded/mwf-ers1>).

The Ssalto/Duacs altimeter products were produced and distributed by the Copernicus Marine and Environment Monitoring Service (CMEMS) (<https://data.marine.copernicus.eu/products>).

The products from the MERCATOR OCEAN system distributed through the Marine Copernicus Service (<https://data.marine.copernicus.eu/products>).

The Pacific Islands Ocean Observing System (PacIOOS) is funded through the National Oceanic and Atmospheric Administration (NOAA) as a Regional Association within the U.S. Integrated Ocean Observing System (IOOS). PacIOOS is coordinated by the University of Hawaii School of Ocean and Earth Science and Technology (SOEST).

Las anomalías del índice de factor de condición fueron determinadas a partir de información brindada por el Laboratorio de Biología Reproductiva de la sede central de IMARPE.

Este boletín es una acción del Programa Presupuesto Por Resultados - PPR 068 El Niño "Reducción de Vulnerabilidad y Atención de Emergencias por Desastres" y su producto "Entidades Informadas en forma permanente y con pronósticos frente al Fenómeno El Niño" del IMARPE.

REFERENCIAS

- Cuba, A., Sánchez, J., Mori, J., & Chávez, G. (2019). Anomalías de los índices reproductivos fracción desovante e índice gonadosomático de anchoveta peruana *Engraulis ringens* (Jenyns, 1842) del stock norte-centro del Perú en relación a El Niño Costero 2017. *The Biologist*, 17(2).
- Dewitte B., D. Gushchina, Y. du Penhoat and S. Lakeev, 2002: On the importance of subsurface variability for ENSO simulation and prediction with intermediate coupled models of the Tropical Pacific: A case study for the 1997-1998 El Niño. *Geoph. Res. Lett.*, vol. 29, no. 14, 1666, 10.1029/2001GL014452.
- Donlon, C. J, M. Martin, J. Stark, J. Roberts-Jones, E. Fiedler, W. Wimmer, 2012. The Operational Sea Surface Temperature and Sea Ice Analysis (OSTIA) system. *Remote Sen. Env.*, 116, 140-158.
- ENFEN, 2024. Definición operacional de los eventos El Niño Costero y La Niña Costera en el Perú. Nota Técnica. <https://enfen.imarpe.gob.pe/download/nota-tecnica-enfen-01-2024-definicion-operacional-de-los-eventos-el-nino-costero-y-la-nina-costera-en-el-peru/?wpdmdl=1905&ind=1733921744133>
- ENFEN, 2025. Informe Técnico ENFEN. Año 11, N° 10, 13 de agosto del 2025, 88 p. <https://enfen.imarpe.gob.pe/download/informe-tecnico-enfen-ano-11-n10-al-13-de-agosto-de-2025/?wpdmdl=1957&refresh=68a04ba4e863b1755335588>
- Hobday, A. J., Alexander, L. V., Perkins, S. E., Smale, D. A., Straub, S. C., Oliver, E. C. J., ... Wernberg, T. (2016). A hierarchical approach to defining marine heatwaves. *Progress in Oceanography*, 141, 227–238. doi:10.1016/j.pocean.2015.12.014
- Illig, S., B. Dewitte, N. Ayoub, Y. du Penhoat, G. Reverdin, P. De Mey, F. Bonjean and G. S. E. Lagerloef, 2004: Interannual Long Equatorial Waves in the Tropical Atlantic from a High Resolution OGCM Experiment in 1981-2000, *Journal of Geophysical Research*, 109, C02022, doi:10.1029/2003jc001771.
- Kalnay, E., M. Kanamitsu, R. Kistler, W. Collins, D. Deaven, L. Gandin, M. Iredell, S. Saha, G. White, J. Woollen, Y. Zhu, A. Leetmaa, B. Reynolds, M. Chelliah, W. Ebisuzaki, W. Higgins, J. Janowiak, K. Mo, C. Ropelewski, J. Wang, R. Jenne, and D. Joseph, 1996: The NCEP/NCAR 40-Year Reanalysis Project. *Bull. Amer. Meteor. Soc.*, 77, 437–471.
- Kobayashi S, Ota Y, Harada Y, Ebata A, Moriya M, Onoda H, Onogi K, Kamahori H, Kobayashi C, Endo H, Miyaoka K, Takahashi K (2015) The JRA-55 reanalysis: general specifications and basic characteristics. *J Meteor Soc Jpn* 93: 5–48.
- Lellouche, J.-M., Le Galloudec, O., Drévillon, M., Régnier, C., Greiner, E., Garric, G., Ferry, N., Desportes, C., Testut, C.-E., Bricaud, C., Bourdallé-Badie, R., Tranchant, B., Benkiran, M., Drillet, Y., Daudin, A., and De Nicola, C.: Evaluation of global monitoring and forecasting systems at Mercator Océan, *Ocean Sci.*, 9, 57-81, 2013.
- Perea, A., B. Buitrón, J. Mori, J. Sánchez, C. Roque, 2015. Anomalías de los Índices reproductivos de anchoveta *Engraulis ringens* en relación al ambiente. En: *Boletín Trimestral Oceanográfico*, Volumen 1, Números 1-4, pp.: 27-28.
- Pietri, A., Colas, F., Mogollon, R., J. Tam & D. Gutierrez. Marine heatwaves in the Humboldt current system: from 5-day localized warming to year-long El Niños. *Sci Rep* 11, 21172 (2021). <https://doi.org/10.1038/s41598-021-00340-4>
- Quispe Ccallauri, C, J. Tam, H. Demarcq, C. Romero, D. Espinoza, A. Chamorro, J. Ramos, R. Oliveros, 2016. El Índice Térmico Costero Peruano. En: *Boletín Trimestral Oceanográfico*, Volumen 2, Número 1, pp: 7-11.
- Quispe-Ccalluari C, Tam J, Arellano C, Chamorro A, Espinoza-Morriberón D, Romero C, Ramos J. 2015. Desarrollo y aplicación de índices y simulaciones para la vigilancia y el pronóstico a mediano plazo del impacto del ENOS frente a la costa peruana. *Inf. Inst. Mar Perú*, Vol. 44(1):28-34. <https://biblioiimarpe.imarpe.gob.pe/handle/20.500.12958/3149>
- Quispe, J. y L. Vásquez, 2015. Índice “LABCOS” para la caracterización de evento El Niño y La Niña frente a la costa del Perú, 1976-2015. En: *Boletín Trimestral Oceanográfico*, Volumen 1, Números 1-4, pp.: 14-18.



El Boletín Semanal Oceanográfico y Biológico-Pesquero (BS-OBP) presenta la evolución de variables físicas en el océano y la atmósfera, de la estructura físico-química del océano frente a la costa norte-centro del Perú en un contexto temporal de corto plazo y en un marco local-regional. El objetivo del BSOBP es comprender los efectos de la variabilidad de macroescala y regional de corto plazo en las condiciones oceanográficas y biológico-pesqueras del mar peruano. Esta información se sustenta en las redes observacionales in situ que administra el IMARPE y que se ha fortalecido en el marco del Programa Presupuesto Por Resultados - PPR 068 El Niño “Reducción de Vulnerabilidad y Atención de Emergencias por Desastres” y su producto “Entidades Informadas en forma permanente y con pronósticos frente al Fenómeno El Niño” del Estado Peruano. Asimismo, esta información local se complementa con un repertorio de productos satelitales y con mediciones directas de equipamiento de programas y proyectos internacionales con el fin de lograr un análisis integrado del estado del océano. El BS-OBP, asimismo, pretende informar de forma oportuna y permanente sobre el estado del océano a diferentes grupos de interés y sociedad en general y contribuir a mejorar el conocimiento del mar peruano y coadyuvar a la gestión del riesgo de desastres del Estado Peruano.

Servicio de Información Oceanográfica del Fenómeno El Niño (SIOFEN)
Instituto del Mar del Perú (IMARPE)



IMARPE (2025). Boletín Semanal Oceanográfico y Biológico-Pesquero N°35-2025, 25 - 31 de agosto de 2025, Callao, Instituto del Mar del Perú.

<https://siofen.imarpe.gob.pe/boletines-e-informes/BS-OBP>

Colaboradores: Katherine Vásquez, Dimitri Gutiérrez, Carlos Quispe, Tony Anculle, Daniel Camarena, Javier Sánchez, Dany Ulloa, Cecilia Peña, Carlos Salcedo, Jorge Quispe.

© 2025 Instituto del Mar del Perú

Suscripciones: Complete [este formulario](#) o escriba a siofen@imarpe.gob.pe.

Consultas:

Servicio de Información Oceanográfica del Fenómeno El Niño, SIOFEN
Laboratorio de Hidrofísica Marina/AFIOF
Dirección General de Investigaciones Oceanográficas y Cambio Climático
Instituto del Mar del Perú
Esquina Gamarra y General Valle S/N, Chucuito, Callao - Perú.
Correo electrónico: siofen@imarpe.gob.pe.
Teléfono: (51 1) 208 8650 (Extensión 824).

Foto en la portada: Mar peruano (© M. Sarmiento/IMARPE).